

924518

# 多体系统动力学

下 册

休斯敦 刘又午 著



天津大学出版社

多 体 系 统 动 力 学<sup>1</sup>

下 册

(美) R.L. 休斯敦 刘又午 著

天津大学出版社

# 多体系统动力学

(下册)

R.L.休斯敦

刘又午 著

\*

天津大学出版社出版

(天津大学内)

河北省邮电印刷厂印刷

新华书店天津发行所发行

\*

开本：787×1092毫米1/32 印张：7<sup>8</sup>/4字数：176千字 插页：2

1991年2月第一版 1991年2月第一次印刷

印数：1—1700

ISBN7-5618-0220-X

TK·3

定价：1.65元

## 下册 目录

<b>第六章 惯量概念</b> .....	( 1 )
6.1 前言 .....	( 1 )
6.2 一次矩 .....	( 1 )
6.3 质心 .....	( 2 )
6.4 在多体系统中的应用 .....	( 4 )
6.5 二次矩矢量 .....	( 11 )
6.6 惯性矩和惯性积 .....	( 12 )
6.7 惯性并矢式 .....	( 15 )
6.8 不同参考系的变换 .....	( 16 )
6.9 平行轴定理 .....	( 17 )
6.10 主惯性矩(推导过程) .....	( 21 )
6.11 主惯性矩(讨论) .....	( 26 )
6.12 极大和极小惯性矩.....	( 35 )
6.13 讨论.....	( 38 )
6.14 多体系统的应用.....	( 41 )
6.15 参考文献.....	( 45 )
附录.....	( 46 )
<b>第七章 多体动力学</b> .....	( 51 )
7.1 前言 .....	( 51 )
7.2 惯性力: 质点和刚体的惯性力 .....	( 51 )
7.3 刚体上的等效惯性力系 .....	( 53 )

7.4	广义惯性力 .....	( 56 )
7.5	用偏速度和偏角速度表示等效惯性力系 .....	( 60 )
7.6	用偏速度和偏角速度分量表示广义惯性 力 .....	( 61 )
7.7	小结与讨论 .....	( 62 )
7.8	参考文献 .....	( 64 )
<b>第八章</b>	<b>多体运动力学.....</b>	<b>( 65 )</b>
8.1	前言 .....	( 65 )
8.2	多体系统应用的力学原理 .....	( 67 )
8.3	刚体的动能和吉布斯函数 .....	( 69 )
8.4	多体系统的运动力学方程 .....	( 75 )
8.5	讨论 .....	( 76 )
8.6	参考文献 .....	( 78 )
<b>第九章</b>	<b>数值解法.....</b>	<b>( 81 )</b>
9.1	前言 .....	( 81 )
9.2	低序体阵列复习 .....	( 82 )
9.3	坐标、广义速率及接点约束 .....	( 86 )
9.4	变换矩阵 .....	( 89 )
9.5	偏角速度 .....	( 91 )
9.6	角加速度和偏角速度阵列的导数 .....	( 97 )
9.7	位置矢量 .....	( 99 )
9.8	质心速度和偏速度 .....	( 104 )
9.9	质心加速度和偏速度阵列的导数 .....	( 106 )
9.10	小结：四个基本运动学阵列.....	( 107 )
9.11	基本运动力学方程.....	( 111 )
9.12	接点和内部运动约束的功能.....	( 113 )
9.13	约束力和力矩分量的确定.....	( 118 )

9.14	数值解法小结.....	( 121 )
9.15	参考文献.....	( 124 )
<b>第十章 约束多体系统</b>	.....	( 127 )
10.1	前言.....	( 127 )
10.2	约束方程.....	( 128 )
10.3	解题方法示例.....	( 136 )
10.4	大型多体系统的一般结果——功率.....	( 143 )
10.5	解算方法——正交补阵.....	( 148 )
10.6	正交补阵的推导.....	( 150 )
10.7	缩减的广义速率和缩减的偏速度.....	( 151 )
10.8	缩减的广义力.....	( 156 )
10.9	缩减的运动力学方程.....	( 158 )
10.10	约束力和力矩分量矩阵的正规消去法 .....	( 160 )
10.11	有功和无功力 .....	( 166 )
10.12	例题：滚动硬币 .....	( 168 )
10.13	参考文献 .....	( 177 )
<b>第十一章 柔性多体系统</b>	.....	( 179 )
11.1	前言.....	( 179 )
11.2	杆的伸长与缩短——刚度建模.....	( 180 )
11.3	杆的伸长与缩短——位移和力.....	( 186 )
11.4	多体系统接点力和力矩的回顾.....	( 188 )
11.5	线性梁理论结果的回顾.....	( 191 )
11.6	梁单元的应用.....	( 195 )
11.7	讨论.....	( 204 )
11.8	参考文献 .....	( 206 )
<b>第十二章 应用及结束语</b>	.....	( 211 )
12.1	前言.....	( 211 )

12.2	应用：链和缆索.....	( 211 )
12.3	应用：生物动力学模型.....	( 217 )
12.4	应用：机器人和机构.....	( 221 )
12.5	其它应用：运载工具和结构.....	( 222 )
12.6	多体系统分析的发展.....	( 223 )
12.7	计算方法.....	( 227 )
12.8	结束语.....	( 228 )
12.9	参考文献.....	( 229 )
	名词索引.....	( 238 )

## 第六章 惯量概念

### 6.1 前 言

为导出惯性力表达式，必先具备有关物体惯量特性的知识。

当质点在惯性参考系（或牛顿参考系）中加速运动时，其上作用的外力与加速度成正比。如图6.1， $R$ 为惯性参考系， $P$ 为质点， $F$ 为作用于质点的力，则 $P$ 在 $R$ 中的加速度 $\mathbf{a}^P$ 与 $F$ 的关系可表示为

$$\mathbf{F} = m^R \mathbf{a}^P \quad (6.1.1)$$

式中 $m$ 为比例常数，称为 $P$ 的“质量”。

根据经典理论，质点的质量只决定于其物理特性，而与其加速度无关。如视物体为质点的集合，则其质量（或惯量）特性即可由质点推出。

本章将复习和给定用于多体系统分析的有关物体的惯量特性。

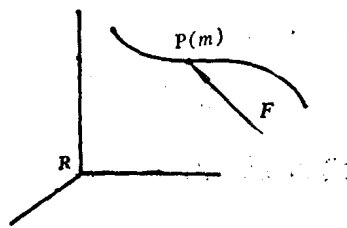


图6.1 质点 $P$ 在惯性参考系中加速运动

### 6.2 一 次 矩

为描述物体的惯量特性，一次矩和二次矩是两个有用的矢

量。质点的一次矩定义如下：见图6.2.1，令 $P$ 为质点， $m$ 为其质量， $\mathbf{p}$ 为给定 $P$ 对参考点 $O$ 的位置矢量。则 $P$ 对 $O$ 的一次矩 $L^{P/O}$ 为

$$L^{P/O} = m\mathbf{p} \quad (6.2.1)$$

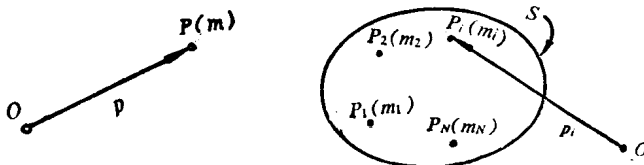


图 6.2.1 质量为 $m$ 的质点 $P$ 和参考点 $O$

图 6.2.2 质点系和参考点 $O$

一次矩的大小与质点的质量及其至参考点 $O$ 的距离成正比。

其次，考察如图6.2.2所示 $N$ 个质点 $P_i (i=1, \dots, N)$ 组成的质点系 $S$ 。 $S$ 对参考点 $O$ 的一次矩可定义为各质点对 $O$ 点一次矩之和，即

$$L^{S/O} = \sum_{i=1}^N L^{P_i/O} = \sum_{i=1}^N m_i \mathbf{p}_i \quad (6.2.2)$$

式中 $m_i$ 为 $S$ 中任意质点 $P_i$ 的质量。

### 6.3 质 心

质点系 $S$ 的质心定义为质系 $S$ 对其一次矩为零的那个参考点 $G$ 。即如 $G$ 为 $S$ 的质心，则

$$L^{S/G} = 0 \quad (6.3.1)$$

见图6.3.1，令 $S$ 为质点系， $O$ 为任意参考点， $G$ 为质心； $\mathbf{p}_G$ 为 $G$ 对 $O$ 的位置矢量； $\mathbf{p}_i$ 为 $P_i$ 对 $G$ 的位置矢量，则有

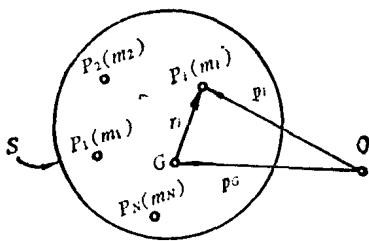


图 6.3.1 质点系  $S$ 、质心  $G$  和参考点  $O$

$$\mathbf{p}_i = \mathbf{p}_a + \mathbf{r}_i \quad (6.3.2)$$

而由式(6.3.1)，如  $G$  为  $S$  的质心，则

$$\sum_{i=1}^N m_i \mathbf{r}_i = 0 \quad (6.3.3)$$

式(6.3.2)代入(6.3.3)可有

$$\begin{aligned} \sum_{i=1}^N m_i \mathbf{r}_i &= \sum_{i=1}^N m_i (\mathbf{p}_i - \mathbf{p}_a) \\ &= \sum_{i=1}^N m_i \mathbf{p}_i - \sum_{i=1}^N m_i \mathbf{p}_a \\ &= \mathbf{L}^{S/O} - \left( \sum_{i=1}^N m_i \right) \mathbf{p}_a = 0 \end{aligned} \quad (6.3.4)$$

因  $\mathbf{p}_a$  不含下标  $i$ ，与和式无关，故可提至和式之外，如最后的

等式。和式  $\sum_{i=1}^N m_i$  即是  $S$  的总质量。故由式(6.3.4)可得

$$\mathbf{p}_a = \sum_{i=1}^N m_i \mathbf{p}_i \div \sum_{i=1}^N m_i = \mathbf{L}^{S/O} / M \quad (6.3.5)$$

式中  $M$  为  $S$  的总质量。

因刚体可视为一个质点系，故可用式(6.3.5)求得刚体的质心。而作为连续体，组成刚体的质点数目应该很大。故应令式(6.3.5)中 $N$ 无限地增大，最终可以物体占有区域的体积分取代其中和式。如 $B$ 为刚体，其质心为 $G$ ，则 $G$ 对任意参考点 $O$ 的位置矢量可表示为

$$\mathbf{p}_G = \int_V \mathbf{p} \rho dV / \int_V \rho dV = \frac{1}{M} \int_V \mathbf{p} \rho dV \quad (6.3.6)$$

式中 $\rho$ 为 $B$ 的密度； $V$ 为 $B$ 占有的空间；而 $\mathbf{p}$ 为 $B$ 中任意点对 $O$ 的位置矢量。

如 $V$ 内质量均匀分布（即 $\rho$ 为常数），则式(6.3.6)简化为

$$\mathbf{p}_G = \frac{1}{V} \int_V \mathbf{p} dV \quad (6.3.7)$$

式中 $V$ 为 $B$ 占有空间的体积。故对匀质物体，质心位置仅决定于物体形状。对常见形状（或图形）， $\mathbf{p}_G$ 已由式(6.3.7)确定。有关结果在很多力学教科书和手册中皆可查到（参见(6.1-6.6)）。本章末附录中列出了部分常见形状物体的质心位置。

## 6.4 在多体系统中的应用

再考察式(6.3.5)

$$\mathbf{p}_G = \sum_{i=1}^N m_i \mathbf{p}_i / \sum_{i=1}^N m_i = \mathbf{L}^{S/O} / M \quad (6.4.1)$$

式中 $S$ 为 $n$ 个质点组成的任意系统。可由此式导出确定多体系统质心的算法。设多体系统 $S$ 包含 $N$ 个物体 $B_k$  ( $k = 1, \dots, N$ )，如图6.4.1。对任一典型物体 $B_k$ ，它的质心至参考点 $O$ 的相对位置可用式(6.4.1)确定。

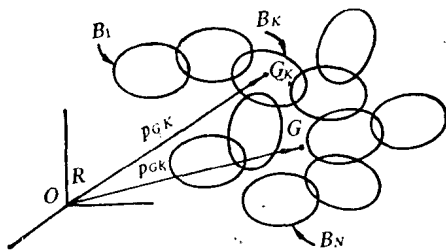


图 6.4.1 多体系统及其质心  $G$

即

$$p_{G_k} = L^{B_k/O} \div m_{B_k} \quad (6.4.2)$$

式中  $m_{B_k}$  为  $B_k$  的质量。此式可改写为

$$L^{B_k/O} = m_{B_k} p_{G_k} = \sum_{i=1}^{n_k} m_i p_i \quad (6.4.3)$$

式中  $n_k$  为组成  $B_k$  的质点数，上面最后一个等式系由 式(6.2.2) 和一次矩定义得来。

注意到式(6.4.1)中的和式由有限项组成，故可根据各独立物体，将它分为若干和式。即可

将  $\sum_{i=1}^N m_i p_i$  和  $\sum_{i=1}^N m_i$  表示为

$$\begin{aligned} \sum_{i=1}^n m_i p_i &= \sum_{i=1}^{n_1} m_i p_i + \sum_{i=n_1+1}^{n_2} m_i p_i + \dots \\ &\quad + \sum_{i=n_{N-1}+1}^N m_i p_i = L^{s/O} \end{aligned} \quad (6.4.4)$$

和

$$\sum_{i=1}^n m_i = \sum_{i=1}^{n_1} m_i + \sum_{i=n_1+1}^{n_2} m_i + \dots + \sum_{i=n_{N-1}+1}^{n_N} m_i = M \quad (6.4.5)$$

比较式(6.4.3)和(6.4.4)，可以判定式(6.4.4)中各独立和式即是各独立物体的一次矩。即整个系统的一次矩可表示为

$$L^{s/o} = L^{B_1/o} + L^{B_2/o} + \dots + L^{B_N/o} \quad (6.4.6)$$

同理，由式(6.4.5)， $S$ 的总质量 $M$ 可表示为各独立物体质量之和，即

$$M = m_{B_1} + m_{B_2} + \dots + m_{B_N} \quad (6.4.7)$$

再比较式(6.4.3)和(6.4.4)可知

$$L^{s/o} = M p_o = m_{B_1} p_{o_1} + m_{B_2} p_{o_2} + \dots + m_{B_N} p_{o_N} \quad (6.4.8)$$

解 $p_o$ 可得

$$p_o = \frac{1}{M} \sum_{k=1}^N m_{B_k} p_{o_k} = \sum_{k=1}^N m_{B_k} \frac{p_{o_k}}{M} = \sum_{k=1}^N L^{B_k/o_k} \div M \quad (6.4.9)$$

式(6.4.9)给出确定多体系统质心所需的算式。考察图6.4.2所示系统，说明其具体应用。此系统由一个立方体、一个圆柱体、四个杆和一个球，共七个物体组成。令立方体每边长1m。令各杆尺寸相同，皆为直径4cm，长1m。令圆柱体直径为1/3m，长1m。令球的直径为1/3m。令 $B_6$ 与球面相连，且其轴线通过球心。除 $B_1$ 有圆柱形空腔外，各物体都是匀质的。

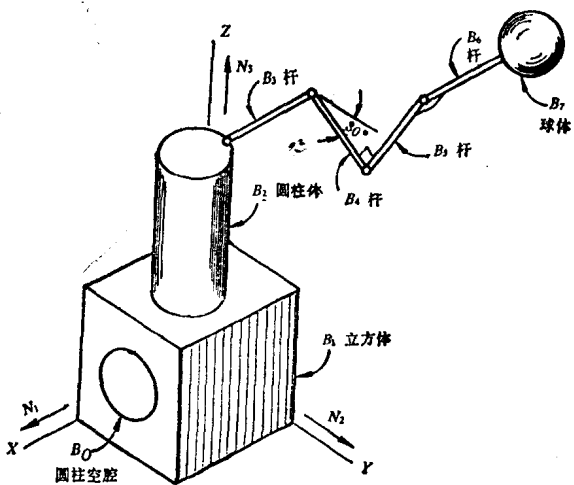


图 6.4.2 多体系统示例

空腔贯穿立方体，其直径为 $1/3\text{m}$ 。令立方体、圆柱和球的密度为 $7.8 \times 10^3 \text{kg/m}^3$ （钢），杆的密度为 $9.8\text{kg/m}$ 。令 $B_3$  和 $B_6$ 与X轴平行， $B_4$ 和 $B_5$ 与Y-Z平面平行。

只需计算式(6.4.9)中的和式，即可确定此系统相对于直角坐标XYZ原点O的质心位置。为计算和式最好用图6.4.2的单位矢量 $N_1$ 、 $N_2$ 和 $N_3$ 表示各矢量 $p_{\sigma_k}$ 。实际上计算过程不过是简单的乘法和表中各列相加。各体的体积、质量和质心位置列如表6.4.1。第3列相加为总质量。乘积 $m_{B_k} p_{\sigma_k}$ 见第7、8和9列。称空腔为 $B_0$ ，其质量应冠以负号。

参照本章末附表，可得第4、5和6列各值。

由表6.4.1可知系统总质量为 $7990.32\text{kg}$ 。且和

式  $\sum_{k=1}^7 m_{B_k} p_{\sigma_k}$  可写为

表 6.4.1

式(6.4.9)中和式的计算

B.	物 体 (m <sup>3</sup> )	体 积 (kg)	质 量 (kg)	质 心 位 置			$m_{B_k} X_k$ (kgm)	$m_{B_k} Y_k$ (kgm)	$m_{B_k} Z_k$ (kgm)	$P_{G_k}$
				$X_k$ (m)	$Y_k$ (m)	$Z_k$ (m)				
0	0.0873	-680	0.5	0.5	0.5	0.5	-340	-340	-340	-340
1	1.0	7800	0.5	0.5	0.5	0.5	3900	3900	3900	3900
2	0.0873	680	0.5	0.5	0.5	0.5	340	340	340	1020
3	0.00125	9.75	-0.167	0.5	2.0	-1.628	4.875	19.5		
4	0.00125	9.75	-0.667	0.933	1.75	-6.5	9.1	17.06		
5	0.00125	9.75	-0.667	1.616	1.933	-6.5	15.756	18.85		
6	0.00125	9.75	-1.167	1.866	2.366	-11.38	18.19	23.07		
7	0.0194	151.32	-1.833	1.866	2.366	-277.37	282.36	358.02		
总 计	1.0244	7990.32					3596.6	4230.3	5016.5	

$$\sum_{k=1}^7 m_{B_k} p_{a_k} = 3596.6N_1 + 4230.3N_2 + 5016.5N_3 \quad \text{kgm} \quad (6.4.10)$$

$p_a$  为

$$p_a = \sum_{k=1}^7 m_{B_k} p_{a_k} / \sum_{k=1}^7 m_{B_k} = 0.450N_1 + 0.529N_2 + 0.628N_3 \quad (6.4.11)$$

表6.4.1及各和式易于表达为计算机算法。首先输入第1、2和3列数据。其次，引用较低序体联接阵列（见4.2节）。本例无分支，阵列很简单

$$L^o(K) = (1, 2, 3, 4, 5, 6, 7)$$

$$L(K) = (0, 1, 2, 3, 4, 5, 6) \quad (6.4.12)$$

而后导出固定在各物体上的单位矢量与固定在XYZ坐标系上的单位矢量  $N_i (i=1, 2, 3)$  间的变换矩阵。如前，称各矩阵为  $SOK (K=1, \dots, 7)$ 。由式(4.8.3)  $SOK$  可写为

$$SOK = SOJSJK \quad (6.4.13)$$

式中  $SJK$  表示  $B_k$  与其相邻低序体  $B_j$  间的变换矩阵。

对图6.4.2系统，各  $SJK$  为

$$S01 = S23 = S67 = I$$

$$S12 = \begin{pmatrix} -1 & 0 & 0 \\ 0 & -1 & 0 \\ 0 & 0 & 1 \end{pmatrix}$$

$$S_{34} = \begin{pmatrix} 0 & -1 & 0 \\ -\frac{\sqrt{3}}{2} & 0 & \frac{1}{2} \\ -\frac{1}{2} & 0 & -\frac{\sqrt{3}}{2} \end{pmatrix} \quad (6.4.14)$$

$$S_{45} = \begin{pmatrix} 0 & 0 & 1 \\ 0 & 1 & 0 \\ -1 & 0 & 0 \end{pmatrix}, \quad S_{56} = \begin{pmatrix} 0 & 1 & 0 \\ -1 & 0 & 0 \\ 0 & 0 & 1 \end{pmatrix}$$

式中  $I$  仍表示单位矩阵。反复使用式(6.4.13)全部  $SOK(K=1, \dots, 7, \dots)$  皆可确定。

最后，式(6.4.8)的位置矢量  $p_{\sigma_k}$  可写成

$$p_{\sigma_k} = q_1 + q_2 + \dots + q_j + q_{j+1} + r_k \quad (6.4.15)$$

式中  $q_k$  为给定该物体参考点(原点)至其相邻低序体的参考点之间的位置矢量(见4.12节)。 $r_k$  为给定  $B_k$  的  $G_k$  至其参考点  $O_k$  间的位置矢量。因  $r_k$  固定在  $B_k$  上，而  $q_k$  固定在  $B_j$  上， $p_{\sigma_k}$  可写成

$$p_{\sigma_k} = (S00_{k,m}q_{1,m} + S01_{k,m}q_{2,m} + \dots + SOJ_{k,m}q_{J,m} + SOK_{k,m}r_{k,m})N_i \quad (6.4.16)$$

式中  $SOO$  为  $I$ 。

如图6.4.2系统  $q_k$  和  $r_k$  各分量为

$$\begin{aligned} q_1 &: (0, 0, 0), \quad q_2: (\frac{1}{2}, \frac{1}{2}, 1), \quad q_3: (\frac{1}{6}, 0, 1), \\ q_4 &: (1, 0, 0), \quad q_5: (1, 0, 0), \quad q_6: (1, 0, 0), \\ q_7 &: (1, 0, 0) \end{aligned} \quad (6.4.17)$$

和

$$r_1: (\frac{1}{2}, \frac{1}{2}, \frac{1}{2}), \quad r_2: (0, 0, \frac{1}{2}), \quad r_3: (\frac{1}{2}, 0, 0).$$